

# TripCo

## Komputer samochodowy

*Pomimo coraz bogatszego „uzbrojenia” aut w elektronikę, tematyka związana z różnymi układami poprawiającymi komfort użytkownika samochodu cieszy się ogromnym zainteresowaniem. W artykule opisano uniwersalny komputer samochodowy, który steruje pracą klimatyzacji, pokazuje temperaturę wewnątrz pojazdu, automatycznie włącza światła, wyświetla prędkość, zużycie paliwa itd.*

**Rekomendacje:** taki komputer przyda się w niejednym, starszym samochodzie, a lektura artykułu może być cenną wskazówką, w jaki sposób otrzymać niezbędne informacje z instalacji samochodowej.

Tematyka motoryzacyjna jest tematem wielu ciekawych opracowań publikowanych na łamach naszego miesięcznika, ponieważ ta gałąź techniki tworzy ogromną płaszczyznę dla innowacyjnych rozwiązań, dla których granicą jest jedynie pomysłowość – nie wolno też zapominać o homologacji samochodu. Dość ciekawym przykładem tej grupy produktów są układy automatyki wspomagające codzienne użytkowanie pojazdu lub poprawiające komfort, jak np. autonomiczne moduły komputerów pokładowych realizujące typowe funkcje urządzeń fabrycznych. To ciekawe zagadnienie nie umknęło także mojej uwadze, czego przykładem może być kilka projektów ogólnie pojętej automatyki znajdującej zastosowanie w motoryzacji. Ostatnim z tego typu rozwiązań mojego autorstwa był prezentowany na łamach Elektroniki Praktycznej nr 5/2103 sterownik TIDex będący w pełni funkcjonalnym urządzeniem typu komputer pokładowy, a przeznaczonym do pojazdów marki Opel wyposażonych w wyświetlacz systemu audio tzw. TID (*Triple Info Display*). Urządzenie z założeniami mogło współpracować wyłącznie z montowanymi we wspomnianych pojazdach wyświetlaczami systemu audio, co ogranicza zastosowanie prezentowanego sterownika tylko w zakresie jednej marki pojazdów. Idąc naprzeciw oczekiwaniom Czy-



telników oraz – nie ukrywam – zaspokajając własną ciekawość, postanowiłem zbudować urządzenie o zbliżonej funkcjonalności, lecz wyposażone w autonomiczny, efektowny interfejs użytkownika. Jak poprzednio, sterownik TripCo realizuje następujące funkcje:

- Steruje pracą układu klimatyzacji manualnej utrzymując zadaną temperaturę wewnątrz pojazdu poprzez automatyczny dobór prędkości pracy wentylatora dmuchawy i/lub włączanie/wyłączanie sprężarki układu klimatyzacji.
- Pokazuje temperaturę wewnątrz pojazdu.
- Zapewnia funkcję automatycznego włącznika świateł mijania po osiągnięciu przez pojazd prędkości > 5 km/godz.
- Pokazuje chwilową prędkość pojazdu (w km/godz.).
- Pokazuje średnią prędkość pojazdu na zadanym odcinku drogi (w km/godz.).
- Pokazuje maksymalną prędkość pojazdu na zadanym odcinku drogi (w km/godz.).
- Pokazuje chwilowe zużycie paliwa (w l/godz. dla prędkości ≤ 5 km/godz. oraz w l/100 km dla pozostałych prędkości).
- Pokazuje średnie zużycie paliwa (w l/100 km).
- Pokazuje całkowite zużycie paliwa (w l).
- Pokazuje koszt zużytego paliwa.
- Pokazuje przejechany dystans od ostatniego kasowania (w km).
- Pokazuje liczbę uruchomień zapłonu.

Algorytm działania urządzenia w zakresie dostępnej funkcjonalności w zasadzie nie uległ zmianom, nie będzie tutaj omawiany, natomiast dociekliwych Czytelników zachęcam do lektury artykułu na temat układu TIDex. Tym razem uwagę swoją skupiłem

### W ofercie AVT\* AVT-5405 A

#### Podstawowe informacje:

- Napięcie zasilania: 12...15 V DC.
- Średni prąd obciążenia (przełączniki wyłączone/złączone): 20 mA/100 mA.
- Zakres regulacji temperatury: 10...30°C.
- Skok regulacji: 1°C.
- Histereza regulacji: +1,5°C dla trybu schładzania, -1,5°C dla trybu ogrzewania.
- Dokładność pomiaru temperatury: 0,5°C.
- Zakres pomiarowy temperatury: 0...99,5°C.
- Zakres pomiarowy prędkości: 0...255 km/godz.
- Zakres pomiarowy chwilowego zużycia paliwa: 0...99,9 l/100 km.
- Zakres pomiarowy średniego zużycia paliwa: 0...25,5 l/100 km.
- Zakres pomiarowy zużytego paliwa: 0...999,9 l.
- Zakres pomiarowy przejechanego dystansu: 0...9999 km.
- Zakresy regulacji parametrów konfiguracyjnych: stała wtryskiwacza: 1...999 ml/min, stała przetwornika drogi: 1...99 imp./obr., obwód opony: 1...255 cm.

#### Dodatkowe informacje:

Wideo obrazujące obsługę urządzenia: <http://www.youtube.com/watch?v=V9lTNW922lW&feature=youtu.be>

#### Dodatkowe materiały na CD/FTP:

<ftp://ep.com.pl>, user: 52617, pass: 30lct328

- wzory płytek PCB
- karty katalogowe i noty aplikacyjne elementów oznaczonych w Wykazie elementów kolorem czerwonym

#### Projekty pokrewne na CD/FTP:

- (wymienione artykuły są w całości dostępne na CD)
- AVT-5395 Komputer samochodowy TIDex (EP 5/2013)
  - AVT-5397 Komputer pokładowy z funkcją tempomatu (EP 5/2013)
  - AVT-1664 Transceiver CAN (EP 2/2012)
  - AVT-5280 Urządzenie diagnostyczne do sieci CAN (EP 3/2011)
  - AVT-5271 VaGlogger - Przyrząd diagnostyczny dla samochodów z grupy VW - Audi (EP 1/2011)
  - AVT-5260 Obrotomierz cyfrowy (EP 10/2010)
  - Obrotomierz cyfrowo-analogowy (EdW 6/2010)
  - AVT-2799 Mikroprocesorowy obrotomierz stroboskopowy (EdW 9/2006)
  - AVT-434 Komputer samochodowy (EP 9-10/2005)

#### \* Uwaga:

Zestawy AVT mogą występować w następujących wersjach:  
AVT xxxx UK to zaprogramowany układ. Tylko i wyłącznie. Bez elementów dodatkowych.  
AVT xxxx A płytka drukowana PCB (lub płytki drukowane, jeśli w opisie wyraźnie zaznaczono), bez elementów dodatkowych.  
AVT xxxx A- płytka drukowana i zaprogramowany układ (czyli połączenie wersji A i wersji UK) bez elementów dodatkowych.  
AVT xxxx B płytka drukowana (lub płytki) oraz komplet elementów wymienionych w załączniku pdf  
AVT xxxx C to nic innego jak zmontowany zestaw B, czyli elementy wmontowane w PCB. Należy mieć na uwadze, że o ile nie zaznaczono wyraźnie w opisie, zestaw ten nie ma obudowy ani elementów dodatkowych, które nie zostały wymienione w załączniku pdf  
AVT xxxx CD oprogramowanie (nieczęsto spotykana wersja, lecz jeśli występuje, to niezbędne oprogramowanie można ściągnąć, klikając w link umieszczony w opisie kitu)

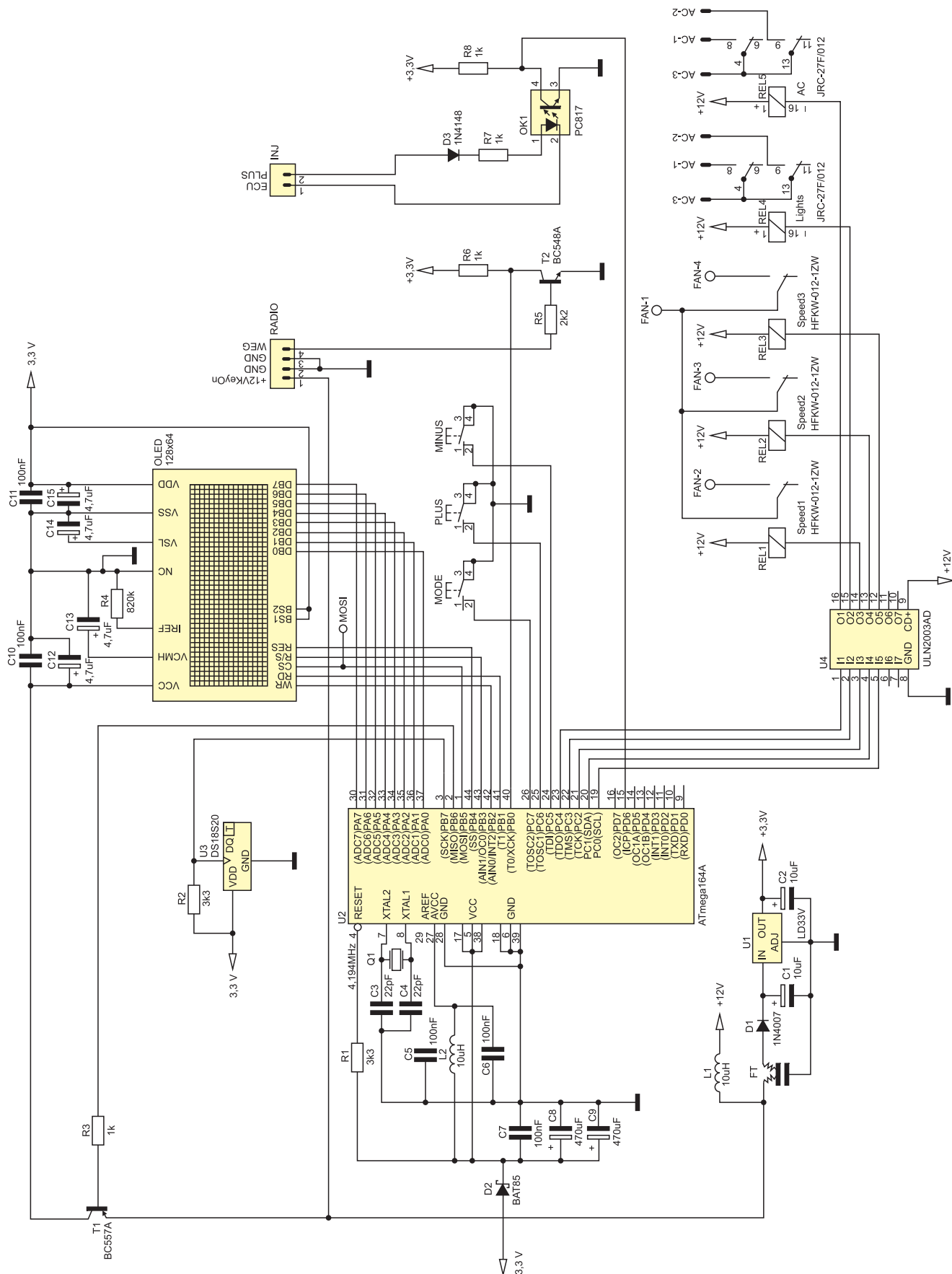
Nie każdy zestaw AVT występuje we wszystkich wersjach! Każda wersja ma załączony ten sam plik pdf! Podczas składania zamówienia upewnij się, którą wersję zamawiasz! (UK, A, A-, B lub C). <http://sklep.avt.pl>

na dobraniu optymalnego z punktu widzenia ergonomii obsługi, sposobu interakcji urządzenia z użytkownikiem, na co składał się rodzaj zastosowanego wyświetlacza jak i sposób obsługi sterownika. Proces ten

okazał się niezbyt zajmującym wyzwaniem, gdyż moje wcześniejsze doświadczenia z panelami OLED marki Winstar szybko wyłoniły przysłowiowe zwycięzcę. Jak łatwo się domyślić i tym razem postawiłem na graficzny

wyświetlacz OLED pracujący w 16 pozycjach szarości. Wybór ten podyktowany był następującymi cechami użytkowymi:

- optymalna wielkość przekątnej ekranu 2.7",



Rysunek 1. Schemat ideowy układu TripCo

Tabela 1. Konfiguracja i funkcjonalność timerów mikrokontrolera ATmega164A

Nazwa	Konfiguracja	Funkcjonalność
Timer0	Licznik impulsów zewnętrznych podawanych na wejście T0 – zlicza przy zboczu opadającym.	Liczy impulsy przetwornika drogi WEG
Timer1	Taktowany wewnętrznym sygnałem zegarowym, preskaler=64 (65.536 impulsów na 1 ms). Wejście Input Capture podłączone do układu formującego przebieg z wtryskiwacza paliwa.	Mierzy sumaryczny czas wtrysku w czasie 1 sekundy
Timer2	Taktowany wewnętrznym sygnałem zegarowym, preskaler=1024. Tryb Normalny. Przerwanie co 62.5 ms.	Odmierza czas pomiaru równy 1 s.

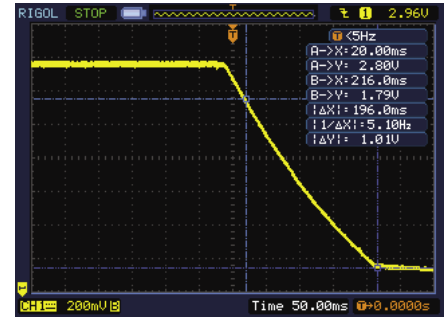
- wystarczająca rozdzielczość 128×64px,
- możliwość wyświetlania 16 poziomów szarości (a zasadzie ustalania poziomów intensywności koloru wyświetlacza), co poprawia estetykę pokazywanych piktoqramów,
- doskonały i nieosiągalny dla paneli LCD kontrast (ponad 2000:1),
- duża jasność (ok. 80 cd/m<sup>2</sup>),
- doskonała czerń (matryca OLED sama jest źródłem światła),
- bardzo szeroki kąt widzenia w każdej płaszczyźnie wynoszący ponad 160 stopni,
- dostępność kilku wersji kolorystycznych panela (zielony, żółty, czerwony, niebieski, biały),
- znacznie poprawiony czas życia matrycy (ponad 100 tys. godzin),
- szeroki zakres temperatury pracy (-40... +85 °C),
- łatwość implementacji (zastosowany sterownik SSD1325 posiada akcelerację funkcji graficznych),
- niewygórowana cena.

Jak widać, powyższe cechy użytkowe idealnie pozycjonują wspomniany wyświetlacz do zastosowań w branży motoryzacyjnej i nie tylko. Jest to wszak technologia optymalna wszędzie tam, gdzie jest wymagany obraz o doskonałej czytelności przy zachowaniu obniżonego poboru energii.

Przejdźmy, zatem do schematu sterownika, który pokazano na **rysunku 1**. Jak widać, jest nieskomplikowany układ mikroprocesorowy zbudowany z wykorzystaniem popularnego mikrokontrolera firmy Atmel typu ATmega164A, scalonego termometru DS18S20, drivera mocy ULN2003 sterującego przekaźnikami wykonawczymi dużej mocy oraz kilku innych elementów dyskretnych. Ponadto, na płytce układu zabudowa-

no kompletny zasilacz układu sterownika wyposażony w scalony stabilizator napięcia 3,3 V, szeregowo-równoległy filtr EMI firmy Murata oraz komplet wygodnych złącz pozwalających na bezproblemowe połączenie z instalacją elektryczną pojazdu. Należy zwrócić uwagę na fakt, że przekaźniki sterujące załączaniem układu klimatyzacji manualnej oraz wyłącznika świateł mają dwa komplety styków, a wynika to z faktu, że wyłączniki odpowiadających im obwodów, które to styki „bocznikują”, wyposażone są także w więcej niż jeden styk wykonawczy i aby poprawnie załączyć wybrany układ, należy dobrać przekaźnik o takim samym układzie styków.

Serce sterownika stanowi mikrokontroler. Realizuje on całą, założoną funkcjonalność urządzenia posilując się w tym celu szeregiem wewnętrznych modułów peryferyjnych. W odróżnieniu jednak od prezentowanego wcześniej sterownika TIDex, w tym wypadku zastosowano mikrokontroler o 2-krotnie większej pamięci Flash, co zostało podyktowane koniecznością przechowywania w niej wzorców zastosowanych czcionek oraz wyświetlanych piktoqramów w formacie bitmap. Mikrokontroler jest taktowany za pomocą zewnętrznego rezonatora kwarcowego o częstotliwości 4,194 MHz, co zapewnia dużą dokładność pomiarów czasu, wykonywanych w programie obsługi urządzenia. Niska częstotliwość zegarowa (w porównaniu do poprzedniego rozwiązania) wynika z konieczności zapewnienia poprawnej pracy mikrokontrolera przy bardzo napięciu zasilania rzędu 1,8 V, co zostanie wyjaśnione w dalszej części artykułu. W programie obsługi sterownika wykorzystano wszystkie wbudowane timery, a ich konfigurację oraz realizowaną funkcjonalność opisano w **tabeli 1**.



Rysunek 2. Wykres zależności napięcia podtrzymania w funkcji czasu w momencie wyłączenia zapłonu

W celu pomiaru czasu trwania wtrysków, zbudowano kompletny i bezpieczny układ wejściowy (przy użyciu popularnego optoizolatora PC817) formujący sygnał wtryskiwacza dla potrzeb wejściowych obwodów mikrokontrolera. Sygnał ten jest podawany na wejście przechwytyjące układu czasowo – licznikowego Timer1, dzięki czemu w dość prosty sposób zrealizowano pomiar czasu trwania wtrysku (akumulowany jest sumaryczny czas trwania wtrysku w okresie 1 sekundy). W ramce umieszczono wzory służące do obliczenia ważniejszych danych dla ustawień Timerów, jak w tabeli 1.

W sterowniku TripCo zastosowano specjalny układ podtrzymania napięcia zasilania mikrokontrolera, gwarantujący poprawność funkcjonowania akumulatorów obliczeniowych pomimo wyłączenia zasilania urządzenia. Dane „zebrane” w specjalną strukturę zaopatrzoną w sumę kontrolną CRC8 zapisywane są każdorazowo przy wyłączeniu zapłonu. W celu detekcji momentu wyłączenia zapłonu zastosowano wbudowany w mikrokontroler przetwornik A/C pracujący w trybie *Free Running* i mierzący napię-

**Wzory służące do obliczania ważniejszych danych:**

```
Accu.Petrol += ((1UL*INJECTORS*InjectionTime*Config.CcPerMin)/ 3932UL); //Akumulator zużytego paliwa [ul]
Accu.Distance += ((1UL*WEGpulses*Config.Wheel) / (100UL*Config.PulsPerRot)); //Akumulator dystansu [m]
Consum = ((3UL*INJECTORS*InjectionTime*Config.CcPerMin) / 327680UL); //Chwilowe zużycie paliwa [l/h *10], gdy prędkość ≤ 5 km/h
Consum = ((100UL*Consum) / Speed); //Jeśli prędkość>5 km/h to zużycie chwilowe podajemy w l/100km *10
ConsumAvg = (Accu.Petrol/Accu.Distance); //Średnie zużycie paliwa [l/100km *10]
Speed = ((36UL*WEGpulses*Config.Wheel) / (1000UL*Config.PulsPerRot)); //Chwilowa prędkość [km/h]
SpeedAvg = ((36UL*Accu.Distance)/(10UL*Accu.Measurements)); //Średnia prędkość [km/h]
```

- gdzie:
- INJECTORS – liczba wtryskiwaczy
  - InjectionTime – sumaryczny czas wtrysku [ms/40]
  - Config.CcPerMin – stała wtryskiwacza [ml/min]
  - Config.PulsPerRot – stała przetwornika drogi [imp/obr]
  - Accu.Petrol – akumulator zużycia paliwa [ul]
  - Accu.Distance – akumulator przejechanego dystansu [m]
  - WEGpulses – liczba impulsów z przetwornika drogi zliczona w czasie 1 sekundy
  - Config.Wheel – obwód opony [cm]
  - Accu.Measurements – liczba pomiarów (co 1 sekundę)

cie  $V_{bak}$ , czyli napięcie zasilające wyłącznie mikrokontroler. Po zaniku zasilania dioda D2 umożliwia separację zasilania mikrokontrolera od reszty urządzenia, a kondensatory C8...C9 zapewniają odpowiedni czas podtrzymania zasilania. Co ciekawe, na pierwszy „rzut oka” nie wydaje się by nasz sterownik w jakikolwiek sposób używał przetwornika A/C, ponieważ żaden z kanałów wejściowych nie jest przez niego w tym celu używany. Jest jednak inaczej. Przetwornik A/C mierzy specjalne, wewnętrzne napięcie odniesienia  $V_{BG}=1,1$  V dzięki wbudowanemu multiplexerowi analogowemu. Napięciem odniesienia jest napięcie zasilające mikrokontroler, czyli napięcie dostarczane na wyprowadzenie AVCC (czyli nasze  $V_{bak}$ ). Jego spadek podczas wyłączenia zasilania powoduje wzrost wartości wyniku przetwarzania według wzoru jak niżej (korzystamy z 8-bitowej rozdzielczości przetwornika)

$$V_{ADC} = (V_{BG} * 256) / V_{bak}$$

Procedura obsługi przerwania przetwornika ADC sprawdza każdorazowo czy nie został przekroczony zdefiniowany wcześniej próg obliczeniowy a jeśli ma to miejsce to inicjuje proces zapisywania danych krytycznych do wbudowanej pamięci EEPROM, po czym czeka, aż napięcie zasilania spadnie do poziomu resetowania mikrokontrolera, które to dokonywane jest przez uruchomiony wcześniej układ BOD (typowo przy wartości 1.8 V). Wspomniany próg zadziałania ustawiono na wartość 2.8 V, co oznacza, iż czas opadania napięcia zasilającego od wartości 2.8 V do wartości 1.8 V (resetowania mikrokontrolera) jest czasem, w którym musi on przeprowadzić zapis wszystkich danych krytycznych – w naszym przypadku 20 bajtów danych. Jak pokazały testy praktyczne, zastosowanie wspomnianego wcześniej rozwiązania sprzętowego (dioda D2 i kondensatory C8...C9) i mechanizmów programowych zapewnia 100% skuteczność zapisu danych z bardzo dużym marginesem czasowym. Wykres zależności napięcia podtrzymania w funkcji czasu w momencie wyłączenia zasilania pokazano na **rysunku 2**.

Jak widać, czas dostępny na zapis danych wynosi około 196ms co dla wymaganej maksymalnej wartości rzędu 66 ms (20 bajtów po 3.3 ms na zapis jednego bajta) daje spory margines bezpieczeństwa. Co oczywiste, potencjalne uszkodzenie w bloku sprzętowym odpowiedzialnym za podtrzymanie napięcia zasilającego skutkować będzie błędnymi zapisami pamięci EEPROM, gdyż dołączana (do struktury danych) suma kontrolna nie będzie zgodna z obliczoną. W takim przypadku układ TripCo poinformuje użytkownika wyświetlając okno informacyjne z komunikatem „save error” tuż po włączeniu zasilania (dokładnie w czasie sprawdzania integralności danych zachowanych w pamięci EEPROM. Listing konfiguracji

#### Listing 1. Konfiguracja oraz procedury obsługi przerwania przetwornika A/C

```
#define VBG 11 //Voltage BandGap, 11=1.1V itd
#define CRITICAL_VOLTAGE 28 //28=2.8V itd
//Obliczony próg dla zapisu do EEPROMA (dla rozd. 8bitów)
#define THRESHOLD (VBG*256/CRITICAL_VOLTAGE)

/* Vref=AVCC, Vin=VBG (wewn.źródło 1.1V), justowanie wyniku pomiaru do lewej
(ADCH zawiera 8-bitowy wynik pomiaru)
Uruchomienie przetwornika ADC w trybie Free Running i zezwolenie na przerwanie
po każdej konwersji (prescaler=128) */
ADMUX = (1<<REFS0)|(1<<MUX4)|(1<<MUX3)|(1<<MUX2)|(1<<MUX1)|(1<<ADLAR);
ADCSRA = (1<<ADEN)|(1<<ADSC)|(1<<ADATE)|(1<<ADPS2)|(1<<ADPS1)|(1<<ADPS0);

ISR(ADC_vect)
{
    register uint8_t Voltage = ADCH;
    if(Voltage>THRESHOLD)
    {
        OLEDOff(); //Wyłączenie software'owe panelu OLED
        //Zapis krytycznych danych do pamięci EEPROM - 66ms
        eeprom_write_block(&Accu, &AccuEE, sizeof(Accu));
        _delay_ms(40);
        //Wyłączenie zasilania panela OLED ( tranzystor sterujący T1)
        PORTB |= (1<<PB6);
        //Czekamy na restart mikrokontrolera przez układ BOD
        _delay_ms(2000);
    }
}
```

przetwornika ADC oraz procedury obsługi jego przerwania pokazano na **listingu 1**.

Kończąc artykuł poświęcony rozwiązaniom konstrukcyjnym oraz programowym zastosowanym w układzie TripCo chciałbym na chwilę zatrzymać się nad zagadnieniem obsługi panela OLED w zakresie wyświetlania grafik oraz własnych czcionek. Co prawda, budowę i sposób obsługi wyświetlaczy tego typu (w języku Bascom) opisałem w Elektronice Praktycznej 01/2011 i 02/2011, jednak od tego czasu firma Winstar zmodyfikowała produkowane wyświetlacze OLED, co wymusiło zmiany w procedurze inicjalizacji. Ponadto, przedstawione niżej rozwiązanie zoptymalizowano pod kątem języka C i nowych narzędzi do generowania obiektów graficznych, przez co zdecydowanie zwiększono możliwości w zakresie tworzenia graficznych interfejsów użytkownika. Nie wchodząc w takim razie w szczegóły budowy i funkcjonowania wyświetlacza, gdyż jak wspomniałem obszerną wiedzę w tym zakresie można znaleźć w moich poprzednich artykułach, przypomnę kilka podstawowych informacji na temat sposobu obsługi i inicjalizacji takiego rodzaju mediów.

Sterowanie pracą wyświetlaczy tego typu polega na wysyłaniu komend sterujących, za pomocą których ustawiamy wstępne parametry konfiguracyjne oraz na zapisie lub odczycie danych do/z pamięci wideo. Zapis powoduje natychmiastowe wyświetlenie pikseli o danych atrybutach.

Interpretacja rodzaju danych, które mają być odebrane przez chipset SSD1325, jest zdeterminowana stanem wyprowadzenia RS. Jest to typowe rozwiązanie w sterowaniu wyświetlaczami wszelkiego typu. Poziom niski na tym wyprowadzeniu decyduje o tym, iż przesyłana wartość zostanie potraktowana jako komenda sterująca lub też argument przesłanej wcześniej komendy sterującej, natomiast poziomy wysoki spowoduje, iż dana zostanie zinterpretowana jako dana pamięci

#### Listing 2. Listing funkcji zapisu komendy sterującej (lub argumentu tej komendy)

```
static void WriteCmd(uint8_t Command)
{
    RESET_RS;
    RESET_WR;
    RESET_CS;
    DATA_PORT = Command;
    SET_CS;
    SET_WR;
    SET_RS;
}
```

#### Listing 3. Listing funkcji zapisu danej pamięci obrazu GDDRAM

```
static void WriteGDDram(uint8_t Data)
{
    RESET_WR;
    RESET_CS;
    DATA_PORT = Data;
    SET_CS;
    SET_WR;
}
```

wideo GDDRAM. W związku z powyższą organizacją procedur sterujących można wyróżnić dwa rodzaje sekwencji operacji zapisu do układu SSD1325 (operacje odczytu przebiegają analogicznie, lecz nie będą tematem naszych rozważań):

- sekwencja zapisu komendy sterującej (zapisu danych do rejestrów konfiguracyjnych),
- sekwencja zapisu danych do pamięci obrazu GDDRAM.

Wspomnianym sekwencjom sterującym odpowiadają funkcje, które pokazano na **listingu 1** oraz **listingu 2**. Posiłkując się tymi dwoma „elementarnymi” funkcjami umożliwiającymi komunikację ze sterownikiem panelu, możemy przejść do funkcji służącej do inicjalizacji sterownika SSD1325 po włączeniu zasilania wyświetlacza, którą to zamieszczono na **listingu 4**, zaś odpowiednie definicje na **listingu 5**. W tym momencie, potrafimy już zainicjować interesujący nas panel OLED w związku, z czym przejdziemy do opisu funkcji odpowiedzialnych za wyświetlenie przygotowanej wcześniej grafiki jak i czcionek ekranowych, których w urządzeniu TripCo zastosowano aż 3 rodzaje. Ste-



rownik SSD1325 ma dość nietypową organizację pamięci ekranu, w której każdy bajt tej pamięci przechowuje dane dla 2 kolejnych pikseli obrazu (stąd jest możliwe wyświetlenie 16 poziomów jasności każdego piksela), do wygenerowania odpowiednich tablic wykorzystano program OLEDesigner v. 1.2, której autorem jest Marcin Popławski. Wygląd okna najnowszej wersji programu OLED Designer przedstawiono na **rysunku 3**. Za pomocą tego prostego, ale jakże użytecznego narzędzia, jesteśmy w stanie zaprojektować dowolny element przyszłego interfejsu użytkownika. Co więcej, bieżąca wersja programu obsługuje następujące formaty danych:

- OPF (od Oled Picture File) czyli plik binarny o odpowiedniej strukturze przeznaczony do zastosowań w kompilatorze Bascom,
- BMP o dowolnej palecie barw, gdyż program automatycznie przekształci taki obrazek do trybu monochromatycznego (oraz „przycnie” do formatu 128×64, jeśli rozmiar obrazka będzie nieodpowiedni),
- C z tablicą wzorca obrazka zapisaną przy użyciu kompresji mRLE (zmodyfikowany algorytm RLE),
- C z tablicą wzorca obrazka zapisaną przy użyciu typowej kompresji RLE.

Otrzymany w ten sposób obraz możemy edytować i zapisywać lub odczytywać korzystając z dowolnego z dostępnych formatów danych. Edytor jest intuicyjny i łatwy w obsłudze. Po wyborze z rozwijanej listy odpowiedniego koloru i wciśnięciu lewego przycisku myszy, nanosimy wybrany kolor na obraz. W celu łatwiejszej identyfikacji kolory w palecie są ponumerowane. Pod prawym przyciskiem myszy kryje się gumka, za pomocą której usuwamy niepotrzebny kolor. Tworzone przez program Pliki OPF jak i C mają następującą strukturę:

- pierwszy bajt określa szerokość obrazka,
- drugi bajt określa wysokość obrazka,
- pozostałe bajty to dane kolejnych pikseli obrazu poddane prostemu algorytmowi kompresji, przy czym zgodnie z organizacją pamięci sterownika SSD1325, każdy wspomniany bajt przechowuje

informację o dwóch, kolejnych punktach obrazu.

Jak pokazały testy praktyczne, najlepszy stopień kompresji obrazków przechowywanych w ten sposób daje zmodyfikowany al-

gorytm RLE (nazwany tutaj mRLE), którego sposób działania opisano w **tabeli 2**.

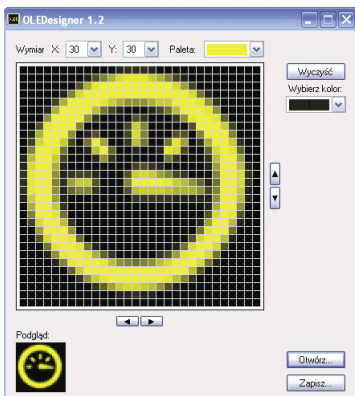
Pomimo swojej prostoty zapewnia on całkiem spory stopień kompresji, co przekłada się na zmniejszenie zajętości pamięci-

```

Listing 4. Listing funkcji inicjalizacji sterownika SSD1325 i włączenia panelu OLED
void InitOLED(void)
{
    //Port danych OLEDa jako wyjścia ze stanem „0”
    DATA_DDR = 0xFF;
    //Porty sterujące OLEDa jako wyjścia ze stanem „0”
    CONTROL_DDR |= (1<<WR_PIN) | (1<<RD_PIN) | (1<<CS_PIN) | (1<<RS_PIN) |
    (1<<RST_PIN);
    //Port sterujący zasilaniem OLEDa jako wyjście ze stanem „1” czyli zasilanie
    WYLACZONE
    VCC_PORT |= (1<<VCC_PIN);
    VCC_DDR |= (1<<VCC_PIN);
    RESET_RST; //Zerowanie sprzętowe sterownika SSD1325
    delay_ms(1);
    SET_RST;
    //Konfiguracja wszystkich parametrów sprzętowych sterownika SSD1325
    WriteCmnd(SET_COLUMN_ADDR); //0...63 (Pojedynczy adres przechowuje dane 2
    pixeli obrazu)
    WriteCmnd(0x00);
    WriteCmnd(0x3f);
    WriteCmnd(SET_ROW_ADDR); //0...63
    WriteCmnd(0x00);
    WriteCmnd(0x3f);
    WriteCmnd(SET_CONTRAST_CTRL);
    WriteCmnd(0x7f); //Contrast Current: Maximum=127, ewentualnie 0x40
    WriteCmnd(SET_CURRENT_RANGE | FULL_CURRENT);
    WriteCmnd(SET_DISP_OFFSET);
    WriteCmnd(0x4c); //Vertical Scroll=76
    WriteCmnd(SET_DISP_START_LINE);
    WriteCmnd(0x00);
    WriteCmnd(SET_REMAP);
    WriteCmnd(0x52); //Enable Nibble Re-map, Enable COM Re-map, Enable COM
    Split Odd Even
    WriteCmnd(SET_MASTER_CONFIG);
    WriteCmnd(0x02); //External Vcc power supply
    WriteCmnd(SET_DISP_MODE_NORMAL);
    WriteCmnd(SET_MULTIPLEX_RATIO);
    WriteCmnd(0x3f); //Mux=64
    WriteCmnd(SET_PHASE_LENGTH);
    WriteCmnd(0x55); //Phase 1 & Phase 2 period = 5 DCLKs
    WriteCmnd(SET_ROW_PERIOD);
    WriteCmnd(0x51); //R=81 DCLKs
    WriteCmnd(SET_DISP_CLOCK);
    WriteCmnd(0x91); //Fosc=800kHz, Div=2, Fdclk=400kHz
    WriteCmnd(SET_VCOMH_VOLTAGE);
    WriteCmnd(0x1c); //70.8*VREF
    WriteCmnd(SET_PRECHARGE_VOLTAGE);
    WriteCmnd(0x10); //0.67*VREF
    WriteCmnd(SET_GRAY_SCALE_TABLE);
    WriteCmnd(0x00);
    WriteCmnd(0x11);
    WriteCmnd(0x21);
    WriteCmnd(0x32);
    WriteCmnd(0x43);
    WriteCmnd(0x54);
    WriteCmnd(0x65);
    WriteCmnd(0x76);
    ClsOLED(); //Wyczyszczenie pamięci ekranu
    OLEDON(); //Załączenie panela OLED
}
    
```

```

Listing 5. Definicje rozkazów sterujących sterownika SSD1325
#define SET_COLUMN_ADDR 0x15
#define SET_ROW_ADDR 0x75
#define SET_CONTRAST_CTRL 0x81
#define SET_CURRENT_RANGE 0x84
#define FULL_CURRENT 0x02
#define HALF_CURRENT 0x01
#define QUARTER_CURRENT 0x00
#define SET_REMAP 0xA0
#define SET_DISP_START_LINE 0xA1
#define SET_DISP_OFFSET 0xA2
#define SET_DISP_MODE_NORMAL 0xA4
#define SET_DISP_MODE_INVERSE 0xA7
#define SET_MULTIPLEX_RATIO 0xA8
#define SET_MASTER_CONFIG 0xAD
#define SET_PRECHARGE_COMP_ENABLE 0xB0
#define SET_PHASE_LENGTH 0xB1
#define SET_ROW_PERIOD 0xB2
#define SET_DISP_CLOCK 0xB3
#define SET_PRECHARGE_COMP_LEVEL 0xB4
#define SET_GRAY_SCALE_TABLE 0xB8
#define SET_PRECHARGE_VOLTAGE 0xBC
#define SET_VCOMH_VOLTAGE 0xBE
#define SET_SEGMENT_LOW_VOLTAGE 0xBF
#define GRAPHIC_ACCEL_OPTION 0x23
#define ENABLE_FILLING 0x01
#define DRAW_RECTANGLE 0x24
#define SET_DISPLAY_ON 0xAF
#define SET_DISPLAY_OFF 0xAE
    
```



Rysunek 3. Wygląd programu OLEDesigner (v.1.2)

ci Flash mikrokontrolera, przechowującej wzorce obrazków i czcionek. Na **listingu 6** przedstawiono funkcję odpowiedzialną za odczytanie, dekompresję i wyświetlenie tak zapisanego obrazka.

Na koniec tej tematyki chciałbym pokrótce omówić zagadnienie generowania i wyświetlania czcionek. Do utworzenia stosownych tablic i struktur zawierających używane w programie obsługi czcionki za-

stosowano doskonały program firmy Atmel ([www.atmel.pl](http://www.atmel.pl)) o nazwie PixelFactory, którego autorem jest Mirosław Kardaś. Wygląd głównego okna programu pokazano na **rysunku 4**. Oprócz innych funkcji, ten program umożliwia utworzenie wzorców czcionek na podstawie wybranych przez użytkownika fontów dostępnych w systemie Windows, wybór wielkości i zakresu dostępnych znaków. Wynikiem działania programu są dwa pliki: plik C zawierający tablice wzorców wygenerowanych znaków i 2 struktury opisujące ich parametry fizyczne oraz plik H zawierający deklaracje używanych tablic, struktur i typów danych. Nie będę w tym miejscu rozpisywał się na temat obsługi programu PixelFactory, gdyż jest ona intuicyjna, a stosowne artykuły znaleźć można w Internecie, lecz skupię się na implementacji odpowiednich procedur dla wyświetlaczy OLED zaznaczając przy tym, iż w naszym programie obsługi zmodyfikujemy nieco sposób dostępu do wzorców znaków, ponieważ nie jest nam potrzebna tak duża elastyczność użytkowa, zaimplementowana przez autora programu.

Liczba powtórzeń	Dane przed kompresją	Dane po kompresji
1	0xAA	0xAA
2	0xAA 0xAA	0xAA 0xAA 0x00
3	0xAA 0xAA 0xAA	0xAA 0xAA 0x01
4	0xAA 0xAA 0xAA 0xAA	0xAA 0xAA 0x02
5	0xAA 0xAA 0xAA 0xAA 0xAA	0xAA 0xAA 0x03
.	.	.
.	.	.
257	257 x 0xAA	0xAA 0xAA 0xFF

#### Listing 6. Funkcja odpowiedzialna za odczytanie, dekompresję i wyświetlenie obrazka

```
// Bajty Picture[0] i Picture[1] opisują szerokość i wysokość obrazka,
// pozostałe bajty stanowią treść obrazu: 1 bajt na 2 pixele
void DrawPicture(uint8_t X1, uint8_t Y1, const uint8_t *Picture)
{
    register uint8_t byteA, byteB;
    uint16_t bytesToSend, repeats, i=2;
    // Obliczamy liczbę bajtów jakie należy wysłać do sterownika modułu OLED
    bytesToSend = (pgm_read_byte(&Picture[0]) >> 1) * pgm_read_byte(&Picture[1]);
    // Ustawiamy aktywne okno pamięci obrazu sterownika SSD1325 by uprościć zapis
    // danych
    SetActiveWindow(X1, Y1, X1+pgm_read_byte(&Picture[0])-1, Y1+pgm_read_byte(&Picture[1])-1);
    do
    {
        if (bytesToSend == 1) // Dla ostatniego bajta danych
        {
            WriteGDDram(pgm_read_byte(&Picture[i]));
            bytesToSend--;
        }
        else
        {
            byteA = pgm_read_byte(&Picture[i]); // Odczytujemy bajt "i"
            byteB = pgm_read_byte(&Picture[i+1]); // Odczytujemy bajt "i+1"
            if (byteA != byteB) // Sprawdzamy czy kolejne bajty są różne
            {
                WriteGDDram(byteA);
                bytesToSend--;
                i++;
            }
            else
            /* Jeśli kolejne bajty są takie same ustalamy liczbę powtórzeń danego bajta
            (+2 powtórzenia obligatoryjne) wynikające ze sposobu zapisu kompresji typu
            mRLE (zmodyfikowane RLE) */
            {
                repeats = pgm_read_byte(&Picture[i+2])+2;
                while (repeats-- > 0) { WriteGDDram(byteA); bytesToSend--; } // Wysyłamy
                // liczbę powtórzeń bajta
                i += 3; // Przesuwamy indeks o 3 miejsca
            }
        }
    } while (bytesToSend);
    SetActiveWindow(0, 0, 127, 63);
}
```

#### Wykaz elementów

##### Rezystory: (1/8 W)

R1, R2: 3,3 kΩ  
R3, R6...R8: 1 kΩ  
R4: 820 kΩ  
R5: 2,2 kΩ

##### Kondensatory:

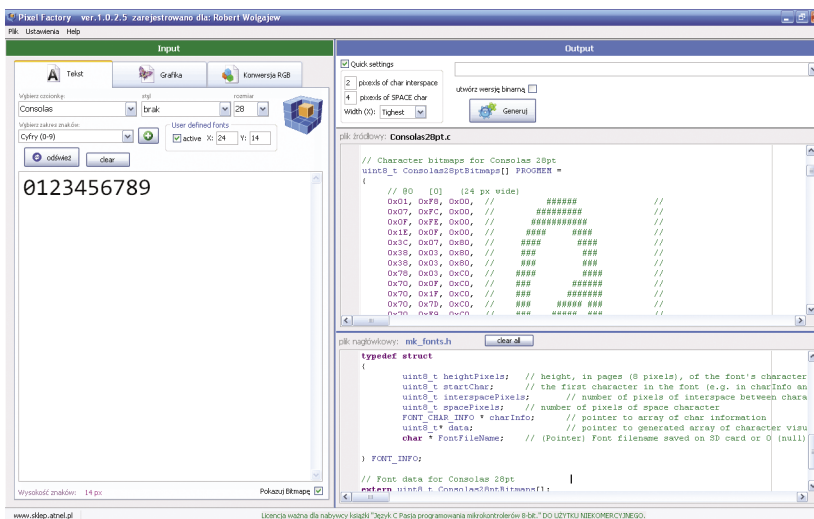
C1, C2: 10 μF/16 V (elektrolityczny)  
C3, C4: 22 pF (ceramiczny)  
C5...C7, C10, C11: 100 nF (ceramiczny)  
C8, C9: 470 μF/10 V (elektrolityczny)  
C12...C15: 4,7 μF/10 V (elektrolityczny)

##### Półprzewodniki:

U1: NCP1117DT33G  
U2: ATmega164A (TQFP44)  
U3: DS18S20  
U4: ULN2003A (SO16)  
D1: 1N4007  
D2: BAT85  
D3: 1N4148  
T1: BC557A  
T2: BC548A  
OK1: PC817

##### Inne:

OLED: wyświetlacz OLED Winstar WEX012864LPP3N00000 (kolor dobrany przez użytkownika)  
L1: dławik 100 μH  
L2: dławik 10 μH  
Q1: rezonator kwarcowy 4.194 MHz  
F1: filtr EMI Murata typu DSS306-55F223  
REL1...REL3: przekaźnik HFKW-012-1ZW  
REL4, REL5: przekaźnik JRC-27F/012  
RADIO: gniazdo męskie kątowe 90° 4pin (NSL25-4W)  
AC, LIGHTS: gniazdo męskie kątowe 90° 3pin (NSL25-3W)  
INJ: gniazdo męskie kątowe 90° 2pin (NSL25-2W)  
FUN: złącze śrubowe typu AK500/4  
MODE, PLUS, MINUS: microswitch z długą oską  
ZIF: złącze typu ZIF do montażu powierzchniowego (raster 0.5mm, 30-pin, górny kontakt)



Rysunek 4. Wygląd głównego okna programu PixelFactory

## Ustawienia ważniejszych fuse-bitów:

```
CKSEL3...0: 1101
SUT1...0: 11
BODLEVEL2...0: 110
CKOUT: 1
JTAGEN: 1
CKDIV3: 1
OCDEN: 1
EESAVE: 0
```

Najważniejszą strukturą z punktu widzenia programu obsługi urządzenia jest ta, która niesie informację na temat cech fizycznych zestawu znaków jak i samego znaku. Budowę struktury pokazano na **listingu 7**. Tablica wzorców poszczególnych znaków, do której wskaźnik umieszczony zostanie we wspomnianej strukturze, jest typową tablicą `uint8_t Tablica[]` `PROGMEM` zawierającą wygenerowane przez program PixelFactory wzorce znaków. Nie korzystamy zarazem z trzeciej struktury, którą tworzy oprogramowanie, a która to zawiera informację o kodach znaków (i stosownym offsecie) umieszczonych w tablicy wzorców, gdyż w programie obsługi urządzenia korzysta się z ciąglego przedziału dostępnych znaków standardu ASCII w odpowiednio ograniczonym zakresie (np. same cyfry lub małe litery). Dla wygody przewidziano dodatkową funkcję `SetFont`, której zadaniem jest odczytanie z pamięci Flash parametrów bieżącej czcionki do zmiennej umieszczonej w pamięci RAM, co

## Listing 7. Struktura opisująca zestaw znaków

```
typedef struct //Deklaracja struktury przechowującej parametry bieżącej
czcionki
{
    uint8_t Width; //Rzeczywista szerokość znaku (px)
    uint8_t Height; //Rzeczywista wysokość znaku (px)
    uint8_t Interspace; //Odstęp pomiędzy znakami (px)
    uint8_t BytesPerChar; //Liczba bajtów danych w tablicy wzorców przypadających
na definicję 1 znaku
    uint8_t FirstCharCode; //Kod ASCII pierwszego znaku w tablicy wzorców
    const uint8_t *Bitmap; //Wskaźnik to tablicy zawierającej wzorce
poszczególnych znaków
} fontDescription;
```

## Listing 8. Funkcja `SetFont`

```
void SetFont(const fontDescription *Font)
{
    CurrentFont.Width = pgm_read_byte(&Font->Width);
    CurrentFont.Height = pgm_read_byte(&Font->Height);
    CurrentFont.Interspace = pgm_read_byte(&Font->Interspace);
    CurrentFont.BytesPerChar = pgm_read_byte(&Font->BytesPerChar);
    CurrentFont.FirstCharCode = pgm_read_byte(&Font->FirstCharCode);
    CurrentFont.Bitmap = (uint8_t*)pgm_read_word(&Font->Bitmap);
}
```

upraszcza nieco konstrukcję właściwej funkcji odpowiedzialnej za wyświetlanie tekstu. Konstrukcję wspomnianej funkcji jak i docelowej funkcji odpowiedzialnej za wyświetlanie napisów (z uwzględnieniem specyfiki sterownika SSD1325) zamieszczono na **listingu 8** i **listingu 9**.

## Montaż

Schemat montażowy komputerka Trip-Comp pokazano na **rysunku 5**. Zmontowano go na płytce dwustronnej przeważnie używając elementów przeznaczonych do

montażu przewlekanego. Co bardzo ważne w przypadku środowisk o sporej liczbie zaburzeń, którym bez wątpienia jest instalacja samochodowa, zadbano o odpowiednie prowadzenie masy oraz ścieżek sygnałów krytycznych.

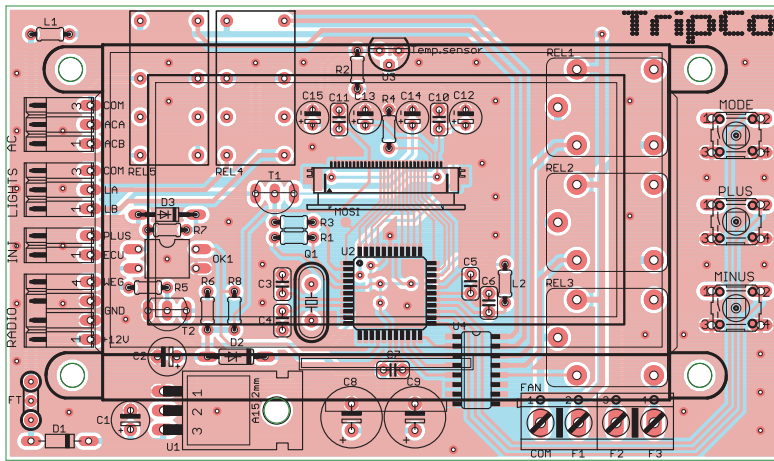
Montaż rozpoczynamy od wlutowania elementów SMD, czyli w naszym przypadku mikrokontrolera oraz złącza ZIF. Montaż tego typu peryferiów możemy wykonać na co najmniej dwa sposoby w zależności od sprzętu lutowniczego jakim dysponujemy. Sposób pierwszy to użycie specjalnej

## Listing 9. Funkcja odpowiedzialna za wyświetlanie napisów na wyświetlaczu OLED

```
/* Funkcja narzędziowa, która testuje kolejne pary bitów bajta, argumentu wywołania by utworzyć bajt wynikowy
zawierający dane 2 pixeli w 16 o dcieniach. Liczbę testowanych par bitów zawiera argument bitsNr, który musi być
parzysty, np. dla bitsNr=6 testowane są pary: 7-6, 5-4, 3-2 */
void sendBitsPairs(uint8_t Byte, uint8_t bitsNr, uint8_t Color, uint8_t Background)
{
    register uint8_t displayData, bitIndex, boundary = (bitsNr == 8) ? 255: 7 - bitsNr;
    for( bitIndex=7; bitIndex != boundary ; bitIndex-=2 )
    {
        if(Byte & (1<<bitIndex)) displayData = Color <<4; else displayData = Background <<4;
        if(Byte & (1<<(bitIndex-1))) displayData |= Color; else displayData |= Background;
        WriteGDDram(displayData );
    }
}

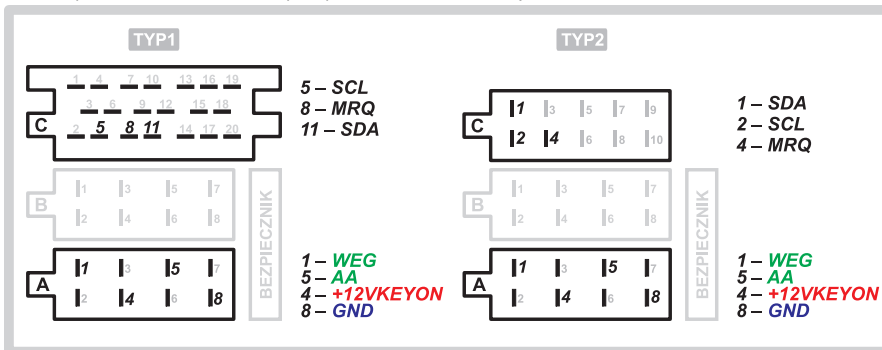
//Właściwa funkcja do obsługi czcionek
void DrawText(uint8_t X1, uint8_t Y1, char *Text, uint8_t Color, uint8_t Background)
{
    register char Character;
    register uint8_t widthIndex, heightIndex, widthByteNr, readByte;
    uint16_t offset;

    while ((Character = *Text++)) //Sprawdzamy kody ASCII kolejnych znaków napisu wejściowego, dla SPACJI tylko
wymazujemy
    {
        if(Character == ' ') DrawRectangle(X1, Y1, X1+CurrentFont.Width-1, Y1+CurrentFont.Height-1, ((Background<<4) |
Background));
        else
        {
            SetActiveWindow(X1, Y1, X1+CurrentFont.Width-1, Y1+CurrentFont.Height-1);
            //Obliczamy offset położenia wzorca w tablicy wzorców znaków
            offset = (Character-CurrentFont.FirstCharCode)*CurrentFont.BytesPerChar;
            for(heightIndex = 0; heightIndex < CurrentFont.Height; heightIndex++)
            {
                for(widthIndex = 0, widthByteNr = 0; widthIndex < CurrentFont.Width; widthIndex += 8, widthByteNr++)
                {
                    //Odczytujemy kolejny bajt definicji znaku umieszczony w tablicy Bitmap pod odpowiednim adresem
                    readByte = pgm_read_byte(&CurrentFont.Bitmap[offset++]);
                    /* W zależności od tego czy do czynienia mamy z bajtem, który jest całkowicie wykorzystany, jeśli chodzi o definicję
wzorca, czy też tylko część jego bitów opisuje wzorec (dla czcionek o szerokości niebędącej wielokrotnością liczby 8)
testujemy odpowiednie grupy bitów wysyłając dane do panelu OLED */
                    if( ((widthByteNr+1)*8) <= CurrentFont.Width ) sendBitsPairs( readByte, 8, Color, Background);
                    else sendBitsPairs( readByte, CurrentFont.Width - (widthByteNr *8), Color, Background);
                }
            }
            //Przesuwamy współrzędną X1 o szerokość znaku plus zdefiniowany odstęp
            X1+=(CurrentFont.Width+CurrentFont.Interspace);
        }
        SetActiveWindow(0, 0, 127, 63);
    }
}
```



Rysunek 5. Schemat montażowy sterownika TripCo

Widok złącz radioodbiornika od strony wnętrza kieszeni montażowej.



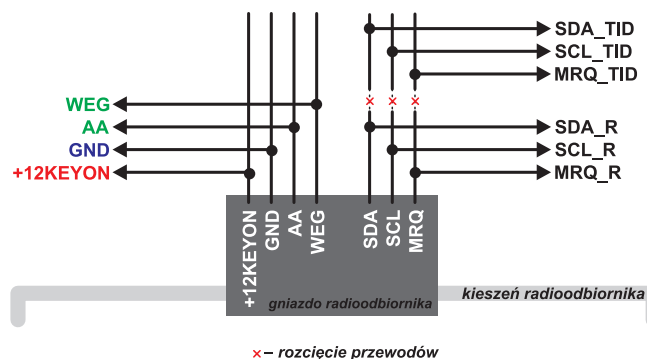
Rysunek 6. Rodzaje złącz radioodbiornika wraz z opisem wyprowadzeń

stacji lutowniczej typu Hot Air oraz odpowiednich, przeznaczonych do tego celu, topników. Sposób drugi (stosowany przeze mnie) to montaż przy użyciu typowej stacji lutowniczej, dobrej cyny z odpowiednią ilością topnika oraz plecionki rozlutowniczej, która umożliwi usunięcie nadmiaru cyny spomiędzy wyprowadzeń układów. Należy przy tym uważać by nie uszkodzić termicznie elementów. Następnie lutujemy rezystory, kondensatory, przekaźniki, złącza, przyciski, a na końcu pozostałe półprzewodniki. Należy zwrócić szczególną uwagę na konieczność pocynowania grubą warstwą cyny ścieżek przewodzących duże prądy, tj. ścieżek styków wykonawczych przekaźników REL1...REL3. Z uwagi na zagęszczenie wyprowadzeń złącza ZIF i mikrokontrolera przed pierwszym podłączeniem układu należy jeszcze raz sprawdzić jakość wykonanych połączeń, aby nie dopuścić do ewentualnych zwarcień. Wspomniana kontrola będzie znacznie łatwiejsza, jeśli zmontowana płytkę sterownika przemyjemy alkoholem izopropylowym

w celu wypłukania nadmiaru kalafonii lutowniczej. Tuż przed przykręceniem wyświetlacza do obwodu drukowanego naszego układu (należy użyć odpowiedniej długości dystansów), należy go podłączyć korzystając ze złącza ZIF umieszczonego po stronie elementów.

### Dołączenie sterownika

Dołączenie sterownika do instalacji samochodowej powinno zostać wykonane przez doświadczony elektryk bądź elektronika samochodowego, najlepiej przy odłączonym akumulatorze. Urządzenie należy zamontować w suchym miejscu, z dala od wszelkiego rodzaju elektroniki, której działanie mogłoby zakłócać funkcjonowanie sterownika (typu sterownik silnika ECU, moduł



Rysunek 7. Sposób podłączenia układu TripCo do gniazda radioodbiornika

kontroli nadwozia BCM czy alarm), zaopatrując w odpowiednią ekranowaną obudowę chroniącą przez zwarcie, zawilgoceniem, uszkodzeniem mechanicznym i zakłóceniami EMI.

W celu wykorzystania wszystkich dostępnych funkcji urządzenia, sterownik należy podłączyć do następujących „modułów” samochodu:

- Złącze radioodbiornika: to podstawowe połączenie umożliwiające zasilenie układu, po włączeniu stacyjki, oraz doprowadzenie sygnału prędkości pojazdu (WEG).
- Panel sterowania nawiewem i klimatyzacją: to połączenie umożliwia automatyczne sterowanie układem klimatyzacji manualnej oraz wentylatorem nawiewu (bardzo ważny jest w tym przypadku przekrój przewodów połączeniowych z uwagi na duże prądy – min. 1,5 mm<sup>2</sup>).
- Panel sterowania wyłącznikiem świateł: to połączenie umożliwia automatyczne włączanie świateł mijania.
- Wtryskiwacz paliwa: to połączenie umożliwia realizację funkcji komputera pokładowego.

Ponadto, układ TripCo wyposażono w zintegrowany, dokładny termometr scalony, który powinien być przyłączony do płytki urządzenia za pomocą 3-żyłowego odcinka przewodu. Należy eksperymentalnie dobrać miejsce zamocowania czujnika, aby odwzorować średnią temperaturę panującą wewnątrz pojazdu i uniknąć niepotrzebnych zadziałań automatyki. Unikać należy montażu czujnika w pobliżu nawiewów, drzwi, okien itp. Najlepszym miejscem wydaje się być tylna część tunelu środkowego bądź kieszeń-schówek pod radioodbiornikiem. Zgodnie z tym, co napisano wcześniej, poniższy sterownik realizuje swoje funkcje przy użyciu przekaźników dużej mocy, których styki wykonawcze podłączone są do styków odpowiadających im wyłączników zamontowanych oryginalnie w pojeździe. Dodatkowo, należy zwrócić uwagę na fakt, iż przekaźniki sterujące załączaniem układu klimatyzacji manualnej oraz wyłącznika świateł mają dwa komplety styków, co wynika wyłącznie z faktu, iż wyłączniki odpowiadających im układów (których to styki „bocznikują”) wyposażone są także w więcej niż jeden styk wykonawczy i aby „poprawnie” załączyć wybrany układ należy dobrać przekaźnik o takim samym układzie styków. Wygląd typowych złączy radioodbiornika wraz z zaznaczeniem interesujących nas wyprowadzeń pokazano na **rysunku 6**. Na **rysunkach 7...9** pokazano sposób dołączenia sterownika do poszczególnych modułów pojazdu (na przykładzie samochodu Opel Meriva, rok modelowy 2004).



### Sposób dołączenia sterownika do wtryskiwacza paliwa

To połączenie należy wykonać nader starannie zachowując dużą ostrożność, by nie doprowadzić do zwarcia przewodów zasilających wtryskiwacz, co mogłoby skutkować uszkodzeniem wyjściowych obwodów sterujących elektronicznego układu sterującego pracą silnika ECU. Każdy wtryskiwacz ma 2 wyprowadzenia: pierwsze z nich to sygnał +12 V, który zostaje podany po przekroczeniu kluczyka stacyjki i który należy dołączyć do wejścia „plus” sterownika. Drugie to sygnał sterujący z modułu ECU (komutowana masa), który należy dołączyć do wejścia ECU sterownika. Wspomniane przewody trzeba starannie zabezpieczyć przed możliwością ewentualnego przetarcia izolacji i powstania zwarcia – dotyczy to zwłaszcza otworów przelotowych, przez które zostaną one przeprowadzone. Aby maksymalnie zabezpieczyć wejściowy układ pomiarowy czasu wtrysku przed zaburzeniami (np. występującymi zwykle w pobliżu listwy zapłonowej), najlepiej zastosować dwużyłowy przewód ekranowany o odpowiednim przekroju, a ekran tego przewodu dołączyć na obu końcach do masy pojazdu. Możliwe jest także podłączenie układu formującego impulsy wtryskiwacza paliwa bezpośrednio do odpowiedniego wyjścia sterownika silnika ECU, na którym to występuje przebieg sterujący pracą wtryskiwaczy. W takim przypadku należy odpowiednio zmniejszyć wartość rezystora R7 ustalającego prąd diody LED transoptora PC817. Na **rysunku 10** przedstawiono rysunek montażowy układu TripCo wraz z opisem wyprowadzeń poszczególnych złącz.

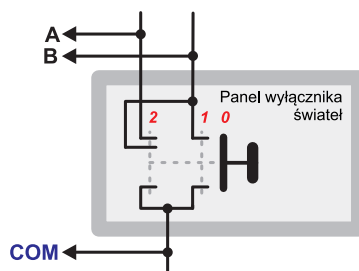
### Obsługa

Jako, że urządzenie TripCo jest medium, które może być obsługiwane podczas jazdy samochodem, ergonomia i prostota obsługi tegoż sterownika jak i czytelność interfejsu użytkownika była podstawowym kryterium

przy konstruowaniu stosownych procedur sterujących. Zgodnie z tymi podstawowymi założeniami, na płytce sterownika przewidziano jedynie 3 elementy sterujące (micro-switchce) umownie oznaczone PLUS, MINUS i MODE). Jak łatwo się domyślić, przyciski PLUS i MINUS służą do regulacji aktualnie wyświetlanych parametrów pracy, zaś przycisk MODE służy do zmiany aktualnie wyświetlanego ekranu Menu. Dodatkowo, dla większości trybów pracy, długotrwałe przytrzymanie przycisków PLUS i MINUS zwiększa szybkość regulacji wybranego parametru urządzenia. Oprócz wspomnianej powyżej funkcjonalności, przyciski MINUS i MODE posiadają dodatkowe funkcje: długie przyciśnięcie przycisku MODE powoduje zapisanie bieżącego trybu pracy urządzenia w nieulotnej pamięci układu by tryb ten stał się aktywnym trybem pracy po ponownym włączeniu zapłonu zaś długie przyciśnięcie przycisku MINUS powoduje wykasowanie liczników dystansu i średnich wartości obliczeniowych. Rysunek wszystkich dostępnych trybów pracy sterownika pokazano na **rysunku 11**, zaś na **rysunku 12** pokazano diagram obrazujący system Menu jak również sposób obsługi urządzenia (symbole przycisków wypełnione kolorem czarnym oznaczają długie naciśnięcie wybranego przycisku).

### Setup i tryb kalibracji stałej wtrysku

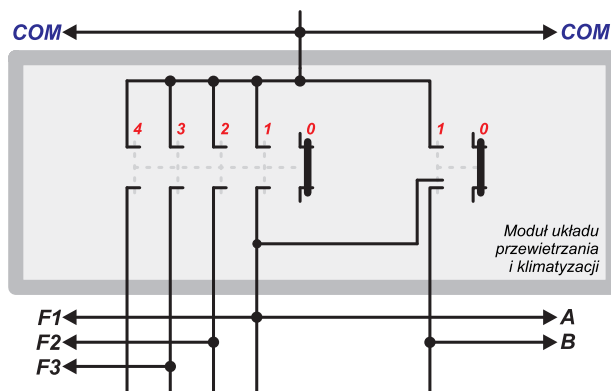
Urządzenie TripCo wyposażono w specjalny, konfiguracyjny tryb pracy, dzięki któremu możemy określić pewne, niezbędne parametry regulacyjne nieodzowne z punktu widzenia funkcjonalności komputera pokładowego. Ten tryb



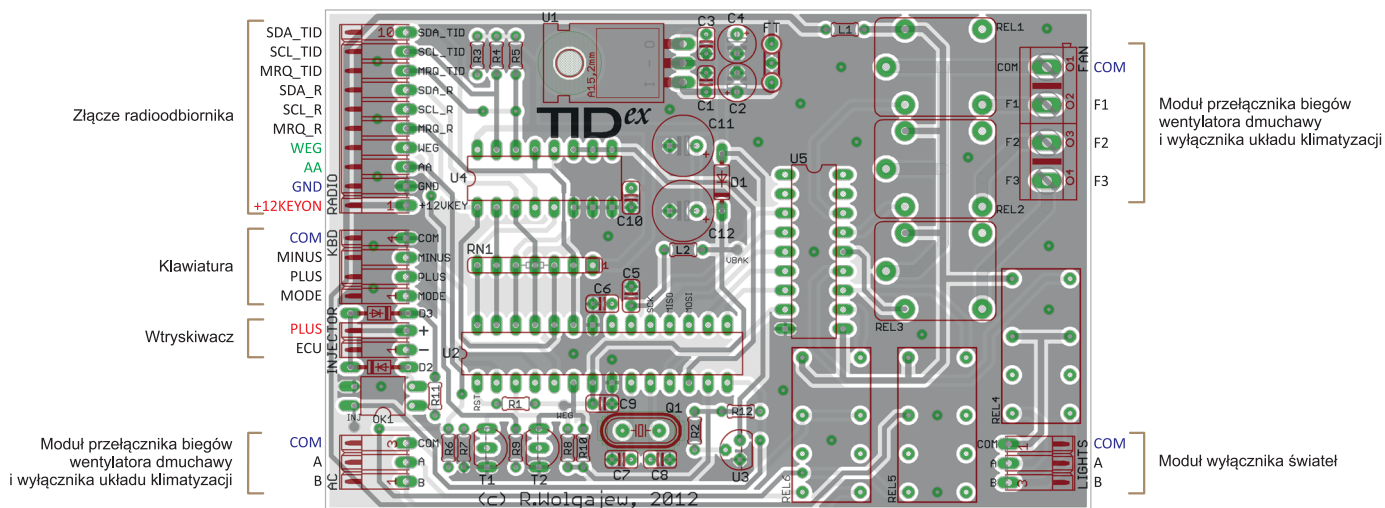
Rysunek 8. Sposób podłączenia układu TripCo do modułu wyłącznika świateł

pracy uruchamiamy poprzez naciśnięcie i przytrzymanie przycisku MODE podczas włączania urządzenia (zapłonu), co zostanie zasygnalizowane przez sterownik wyświetleniem okna informacyjnego z napisem „setup, wait”. W tym trybie pracy urządzenia możemy określić wielkość następujących stałych niezbędnych w procesie obliczania zużycia paliwa, prędkości jazdy, drogi oraz kosztów:

- *Stać wtryskiwacza* (w [ml/min]): jest to wielkość charakterystyczna dla każdego wtryskiwacza elektronicznego wtrysku paliwa informująca nas o ilości paliwa, jakie może on wprowadzić do komory spalania w jednostce czasu



Rysunek 9. Sposób podłączenia układu TripCo do modułu przełącznika biegów wentylatora dmuchawy i wyłącznika układu klimatyzacji A/C



Rysunek 10. Rysunek montażowy układu TripCo wraz z opisem wyprowadzeń poszczególnych złącz



Rysunek 11. Dostępne tryby pracy sterownika TripCo wraz z opisem wyświetlanych wartości

REKLAMA

(przy założeniu 100% czasu otwarcia zaworu i stałym, charakterystycznym dla każdego wtryskiwacza ciśnieniu zasilającym).

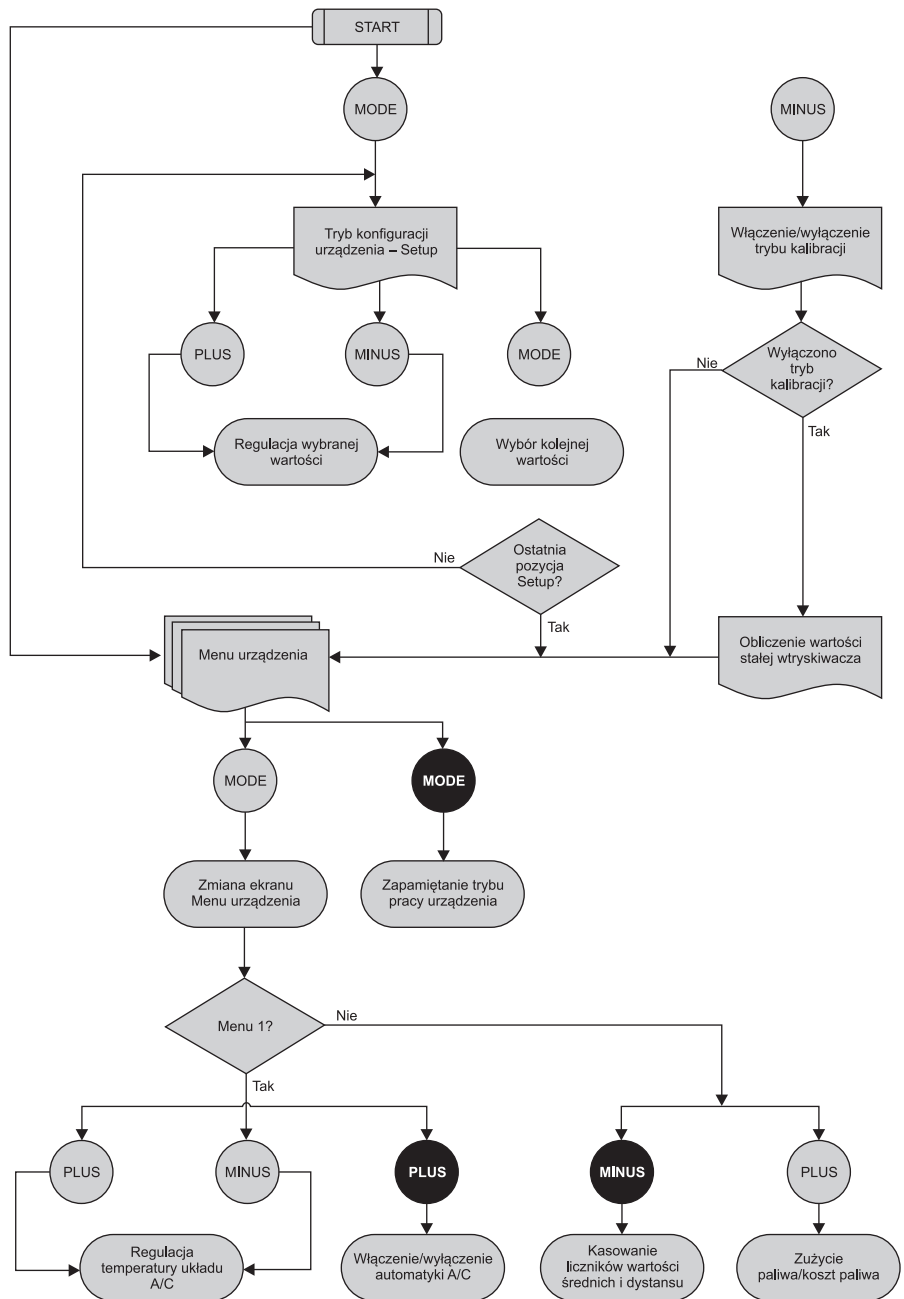
- *Stała przetwornika drogi* (impulsatora, w [imp/obr]): jest to wielkość charakterystyczna dla każdego impulsatora informująca nas o liczbie impulsów przypadających na 1 obrót koła (osi); dla przykładu w większości nowych modeli marki Opel jest to wartość 29 imp/obr.
- *Obwód opony* (w [cm]).
- *Koszt 1l paliwa* (w [zł]).

Wspomniane stałe można znaleźć w Internecie poszukując się wszelkiego rodzaju forami o tematyce elektronicznej. Obwód opony, a w zasadzie drogę, jaką pokona pojazd w czasie jednego, pełnego obrotu koła należy wyznaczyć empirycznie. W tym celu zaznaczamy (np. kredą) najniższe położone miejsce styku opony z powierzchnią drogi, następnie standardowo obciążony pojazd przetaczamy tak by koło wykonało jeden, pełen obrót, po czym zmierzmy pokonany odcinek drogi. Ostatnią pozycją Menu trybu konfiguracyjnego jest możliwość wprowadzenia własnego napisu użytkownika, który to możemy później wywołać jako jeden z trybów pracy urządzenia. Wszystkie wprowadzone wartości zostaną zachowane w nieulotnej pamięci EEPROM urządzenia, po czym sterownik przejdzie do normalnego trybu pracy. Niestety, jak pokazała praktyka, pewnych trudności może czasami nastęcać znalezienie parametrów stosowanych w naszym pojeździe wtryskiwaczy, ponieważ te elementy są często wykonywane na zamówienie producenta pojazdu i na próżno szukać ich oznaczeń na stronach producentów

stosownych podzespołów. Na szczęście przewidziano pewien mechanizm, za pomocą którego sterownik TripCo jest w stanie samodzielnie wyznaczyć poszukiwaną stałą na podstawie informacji o zużytym paliwie i pomiarze sumarycznego czasu wtrysków. Do tego celu przewidziano specjalny tryb kalibracyjny, który może zostać uruchomiony poprzez naciśnięcie i przytrzymanie przycisku MINUS podczas włączania urządzenia, co zasygnalizowane zostanie przez sterownik wyświetleniem okna informacyjnego z napisem „calibr.on”. Ponowne wykonanie wspomnianych czynności (podczas ponownego włączania urządzenia z uruchomionym wcześniej trybem kalibracyjnym) powoduje obliczenie żądanej stałej wtryskiwacza a następnie opuszczenie procesu kalibracji sygnalizowane wyświetleniem okna informacyjnego z napisem „calibr.off”. Co oczywiste, do czasu zakończenia procesu kalibracji nie są dostępne następujące wartości obliczeniowe: chwilowe, średnie i całkowite zużycie paliwa (jest to sygnalizowane wyświetleniem napisu „—” w odpowiednich polach wspomnianych wartości). Aby przeprowadzenie procesu kalibracji miało w ogóle sens należy zastosować następujący algorytm postępowania:

- Zużyć całe, dostępne paliwo, aż do zaświecenia się lampki sygnalizującej tzw. rezerwę paliwa.
- Zatankować 20 litrów paliwa.
- Uruchomić procedurę kalibracji.
- Zużyć całe, dostępne paliwo (zatankowane wcześniej 20 litrów), aż do ponownego zaświecenia się lampki sygnalizującej tzw. rezerwę paliwa.
- Zakończyć procedurę kalibracji.

Po wykonaniu tych czynności układ TripCo obliczy, wyświetli i zapisze w nieulotnej pamięci wartość stałej wtryskiwacza, po czym przejdzie do normalnego trybu pracy. Gdyby obliczona przez sterownik wartość stałej wtryskiwacza powodowała zaniżanie lub zawyżanie rzeczywistego spalania paliwa, w każdej chwili możemy dokonać odpowiedniej jej korekty poprzez wejście w system Setup i zwiększenie (w przypadku zaniżania spalania) lub zmniejszenie (w przypadku zawyżania



Rysunek 12. Diagram obrazujący system Menu i sposób obsługi sterownika TripCo

spalania) wspomnianej wartości. Należy zaznaczyć, iż tak jak w przypadku oryginalnych rozwiązań typu „komputer pokładowy”, obliczane wartości zużycia paliwa są obciążone pewnym acz niewielkim błędem wynikającym choćby z założenia

stałego ciśnienia zasilającego wtryskiwacz czy też z zaokrążeń obliczeniowych. Dodatkową pozycją Menu jest możliwość ustawienia kontrastu wyświetlacza OLED (w 128 krokach).

Robert Wołgajew, EP

REKLAMA

# STRACH NA SZPAKI

## AVT 2753

- układ czasowy włączający sygnał dźwiękowy
- płynna regulacja czasu przerwy
- wbudowany włącznik zmierzchowy
- kontrola poziomu napięcia zasilania - dioda LED
- kontrola działania czujnika oświetlenia - dioda LED
- zasilanie - 12 V (akumulator)

www.sklep.avt.pl